

2.10.4. Качественное описание структуры «протона»

При всей грубости третьего приближения теории упругого вакуума (см. п. 2.3.2.1) Алсигна предоставляет логически заверченный математический аппарат, предназначенный для исследования ультрального, инферального, гигаального и других более тонких уровней организации переплетенных тканей «электронов», «протонов», «нейтронов» и т. д.

Каждая из элементарных «частиц» – это бесконечный мир, изучению которого нужно посвятить отдельные тома. Но в данной части проекта Алсигна делает лишь робкую попытку «изобразить» некоторую качественную картину вне- и внутриядерных вакуумных процессов, протекающих в недрах «протона» и «антипротона». При этом мы опираемся на математические подходы, которые уже были выработаны при исследовании метрико-динамической структуры «электрона» и «позитрона» (см. п. 2.3.2.1).

Для примера рассмотрим мгновенное состояние «протона» p_1^- , описываемое ранжиром (2.10.17)

$$\begin{aligned} d_k^+ (+ + + -) \\ u_3^- (- + - +) \\ u_r^- (- - + +) \\ p_1^- (- + + +)_+, \end{aligned} \quad (2.10.32)$$

который раскрывается в виде 15-и метрик (2.10.25).

2.10.4.1. Топологическая структура p_1^- -«протона»

Прежде всего напомним, что наборы 5-ти метрик с сигнатурами $(- + - +)$ и $(- - + +)$, входящими в ранжир (2.10.32), описывают замкнутые тороидальные протяженности (см. п. 1.2.11 в [8]), а третий набор 5-ти метрик из того же ранжира с сигнатурой $(+ + + -)$ характеризует гиперболическую 4-протяженность, имеющую структуру замкнутого параболоида.

Таким образом, с точки зрения вакуумной топологии, ядро p_1^- -«протона» представляет собой метрико-динамический узел, состоящий из двух переплетенных торов, заключенных внутри замкнутого параболоида (см. рис. 2.10.5).

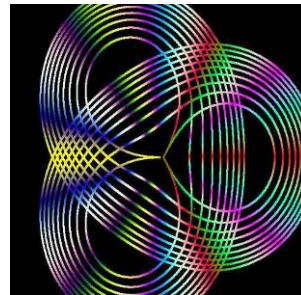
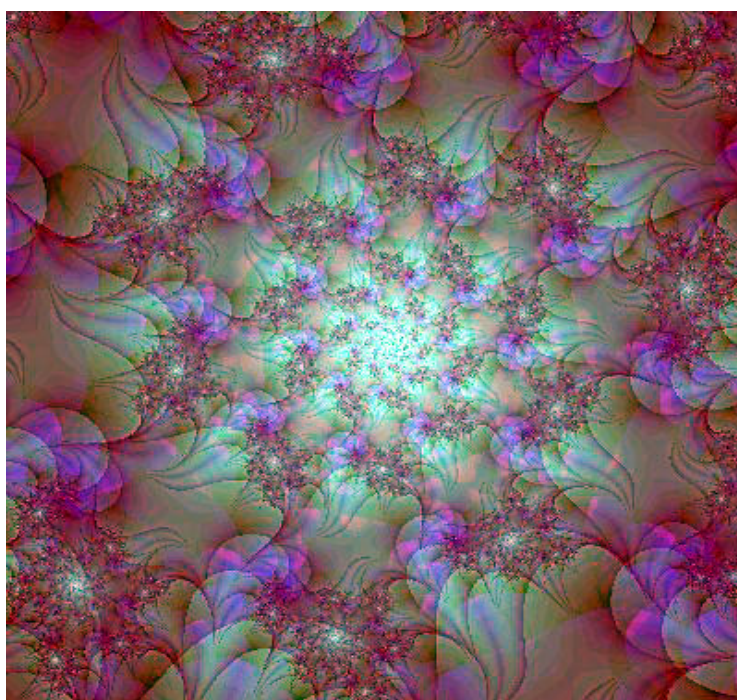


Рис. 2.10.5.

Иллюстрация узловой структуры вакуумных токов внутри ядра «протона»

Внешняя оболочка p_1^- -«протона» – это узловые структуры в открытом гиперболическом пространстве. Узловая топологическая структура, описываемая ранжиром (2.10.32), многократно фрактально репродуцируется в различных локальных областях искривленной вакуумной протяженности, которую мы условились называть *внешней оболочкой* p_1^- -«протона».



www.aires.spb.ru

Попытка проиллюстрировать узловые структуры в открытом гиперболическом пространстве, окружающем ядро «протона»

Еще в конце XVIII в. В. Томсон (лорд Кельвин) попытался составить периодическую таблицу химических элементов, исходя из предположения, что атомы являются завязанными в узлы вихрями эфира. Хотя эта попытка тогда оказалась безуспешной, она, тем не менее, вдохновила его близкого друга Питера Дж. Тэйта (Peter Guthrie Tait, 1831 – 1901 гг.) на создание теории узлов. Эта теория включала классификацию узлов, имеющих заузленность не более восьмого порядка. Алгебра сигнатур во многом вернулась к идеям В. Томсона и П. Дж. Тэйта, но только на следующем витке развития наших представлений о сложнейших переплетениях вакуумных токов, т. е. течений лимфы Живого Бытия.

2.10.4.2. Ядро p_1^- -«протона»

Ядро «протона» (так же как и ядро «электрона») – это бесконечный океан, окруженный многослойной мембраной (ракией). Только в отличие от ядра «электрона» этот океан имеет не одно, а три субъядрышка хаотически блуждающих вокруг друг друга, и связанных между собой сложно переплетенными субконт-антисубконтными токами (см. рис. 2.10.6).

Подобно фрактальным множествам, ядро «протона» можно исследовать вечно, находя в нем все новые и новые глубины и гармоничные структуры. Здесь мы затрагиваем только самые грубые метрико-динамические формы его существования.

В рамках третьего приближения теории упругого вакуума, развиваемого Алсигной, ядро p_1^- -«протона» описывается совокупностью 6-ти обобщенных метрик Коттлера (2.10.25б), (2.10.25д) и (2.10.25з):

$$ds_3^{(a)2} = \left(1 - \frac{d_e^{(1)}}{r_1} + \frac{r_1^2}{r_e^{(1)2}}\right) c^2 dt^2 + \frac{dr_1^2}{\left(1 - \frac{d_e^{(1)}}{r_1} + \frac{r_1^2}{r_e^{(1)2}}\right)} + r_1^2 d\theta^2 - r_1^2 \sin^2 \theta d\varphi^2, \quad \text{sign}(+++)$$

$$ds_4^{(b)2} = \left(1 + \frac{d_e^{(1)}}{r_1} - \frac{r_1^2}{r_e^{(1)2}}\right) c^2 dt^2 + \frac{dr_1^2}{\left(1 + \frac{d_e^{(1)}}{r_1} - \frac{r_1^2}{r_e^{(1)2}}\right)} + r_1^2 d\theta^2 - r_1^2 \sin^2 \theta d\varphi^2, \quad \text{sign}(+++)$$

$$ds_8^{(a)2} = -\left(1 - \frac{d_e^{(2)}}{r_2} + \frac{r_2^2}{r_e^{(2)2}}\right) c^2 dt^2 + \frac{dr_2^2}{\left(1 - \frac{d_e^{(2)}}{r_2} + \frac{r_2^2}{r_e^{(2)2}}\right)} - r_2^2 d\theta^2 + r_2^2 \sin^2 \theta d\varphi^2, \quad \text{sign}(-++)$$

$$ds_9^{(b)2} = -\left(1 + \frac{d_e^{(2)}}{r_2} - \frac{r_2^2}{r_e^{(2)2}}\right) c^2 dt^2 + \frac{dr_2^2}{\left(1 + \frac{d_e^{(2)}}{r_2} - \frac{r_2^2}{r_e^{(2)2}}\right)} - r_2^2 d\theta^2 + r_2^2 \sin^2 \theta d\varphi^2, \quad \text{sign}(-++)$$

$$ds_{13}^{(a)2} = -\left(1 - \frac{d_e^{(3)}}{r_3} + \frac{r_3^2}{r_e^{(3)2}}\right) c^2 dt^2 - \frac{dr_3^2}{\left(1 - \frac{d_e^{(3)}}{r_3} + \frac{r_3^2}{r_e^{(3)2}}\right)} + r_3^2 d\theta^2 + r_3^2 \sin^2 \theta d\varphi^2, \quad \text{sign}(-++)$$

$$ds_{14}^{(b)2} = - \left(1 + \frac{d_e^{(3)}}{r_3} - \frac{r_3^2}{r_e^{(3)2}} \right) c^2 dt^2 - \frac{dr_3^2}{\left(1 + \frac{d_e^{(3)}}{r_3} - \frac{r_3^2}{r_e^{(3)2}} \right)} + r_3^2 d\theta^2 + r_3^2 \sin^2 \theta d\varphi^2, \quad \text{sign}(- - + +) \quad (2.10.33)$$

где r_1, r_2, r_3 берут начало не в одной центральной точке исследуемого вакуумного образования, а в центрах трех субъядрышек, соответствующих трем валентным кваркам (см. рис. 2.10.4).

В этом случае скорости и ускорения внутриядерных усредненно - переплетенных субконт-антисубконтных токов определяются суперпозицией нулевых компонентов g_{00} метрических тензоров из метрик (2.10.33):

$$\begin{aligned} \langle g_{00} \rangle = & \frac{1}{2} \left[\left(1 - \frac{d_e^{(1)}}{r_1} + \frac{r_1^2}{r_e^{(1)2}} \right) + \left(1 + \frac{d_e^{(1)}}{r_1} - \frac{r_1^2}{r_e^{(1)2}} \right) \right] - \frac{1}{2} \left[\left(1 + \frac{d_e^{(2)}}{r_2} - \frac{r_2^2}{r_e^{(2)2}} \right) + \left(1 - \frac{d_e^{(2)}}{r_2} + \frac{r_2^2}{r_e^{(2)2}} \right) \right] - \\ & - \frac{1}{2} \left[\left(1 + \frac{d_e^{(3)}}{r_3} - \frac{r_3^2}{r_e^{(3)2}} \right) + \left(1 - \frac{d_e^{(3)}}{r_3} + \frac{r_3^2}{r_e^{(3)2}} \right) \right]. \end{aligned} \quad (2.10.34)$$

В свою очередь, усредненно-переплетенные деформации вакуумной протяженности внутри ядра «протона» определяются суперпозицией единичных компонентов g_{11} метрических тензоров из тех же метрик (2.10.33)

$$\begin{aligned} \langle g_{11} \rangle = & \frac{1}{2} \left[\left(1 - \frac{d_e^{(1)}}{r_1} + \frac{r_1^2}{r_e^{(1)2}} \right)^{-1} + \left(1 + \frac{d_e^{(1)}}{r_1} - \frac{r_1^2}{r_e^{(1)2}} \right)^{-1} \right] + \frac{1}{2} \left[\left(1 + \frac{d_e^{(2)}}{r_2} - \frac{r_2^2}{r_e^{(2)2}} \right)^{-1} + \left(1 - \frac{d_e^{(2)}}{r_2} + \frac{r_2^2}{r_e^{(2)2}} \right)^{-1} \right] - \\ & - \frac{1}{2} \left[\left(1 + \frac{d_e^{(3)}}{r_3} - \frac{r_3^2}{r_e^{(3)2}} \right)^{-1} + \left(1 - \frac{d_e^{(3)}}{r_3} + \frac{r_3^2}{r_e^{(3)2}} \right)^{-1} \right]. \end{aligned} \quad (2.10.35)$$

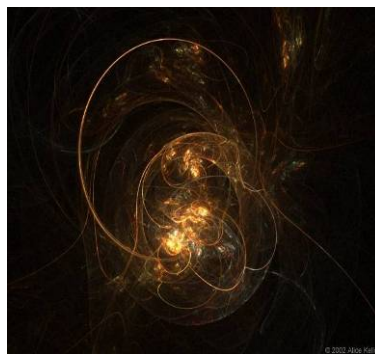
Применяя те же методы исследований метрико-динамической структуры вакуумной протяженности, что и при изучении ядра «электрона» (см. гл. 2.3), можно получить усредненные представления о невообразимо сложных и потрясающе красивых процессах, протекающих внутри ядра «протона».

Мы не будем в данной работе подробно исследовать структуру ядра p_1^- -«протона», т. к. основные идеи и подходы к решению этой задачи уже изложены в предыдущих главах. Отметим только, что потенциала третьего приближения теории упругого вакуума Алсигны, на наш взгляд, вполне достаточно, для построения внутриядерной физики, способной раскрыть многие удивительные и потрясающе гармоничные тайны Живого Бытия.

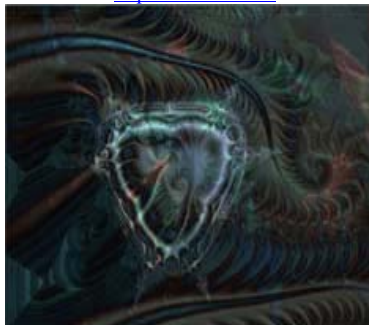
Укажем на два серьезных отличия ядерной физики «протона» от физики ядра «электрона»: 1) подобно поведению 3-х гравитационно - зависимых космических тел, три внутренних кварковых ядрышка «протона» то с ускорением сближаются, вращаясь вокруг своих осей и относительно друг друга (см. рис. 2.10.6), то с замедлением удаляются друг от друга. Поэтому в отличие от ядра «электрона» внутриядерный мир «протона» как бы «дышит». Он то несколько сжимается, то расширяется; 2) «протон» характеризуется не одним, а тремя кварковыми наборами (2.10.27а) – (2.10.27в), поэтому к предыдущим методам исследований ядра «электрона» требуется также привлечение элементов ядерной комбинаторики.



<http://www.nsu.ru/>



<http://comtess.narod.ru/>





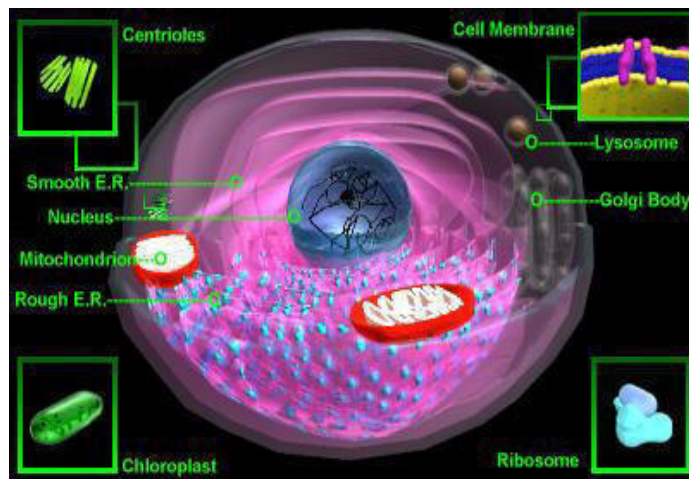
<http://www.nadishana.com/>

Рис. 2.10.6. Иллюстрации различных проявлений 3-«кварковой» структуры ядра «протона»



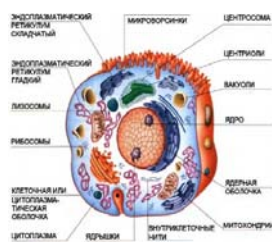
<http://hydepark.by.ru/>

Рис. 2.10.6. Духовный символ ✧ (Маген Давида) находит фрактальное отражение в 3-кварковой структуре «протон» - «антипротонов» пар, и в строении живых организмов и растений



<http://rico.pnzgu.ru/>

Миры внутри миров

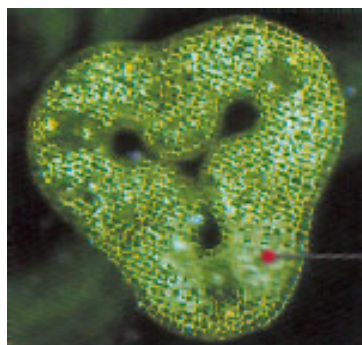


<http://saechka.ru/>

В современных изданиях по микробиологии часто встечаются изображения клеток в ядрах которых видны по два ядрышка. Такие клетки, как правило, не стабильны, т. к. два ядрышка образуются перед ее делением.

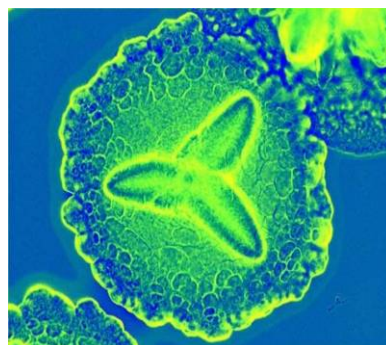
Интересно существуют ли клетки с тремя ядрышками внутри ядра? Если да, до изучение таких клеток прояснит многое в отношении структуры «протона».

Изучению 3-«кваркового» ядра «протона» во многом могут способствовать исследования вирусов и бактерий с аналогичными 3-лепестковыми внутренними структурами (см. рис. 2.10.7).



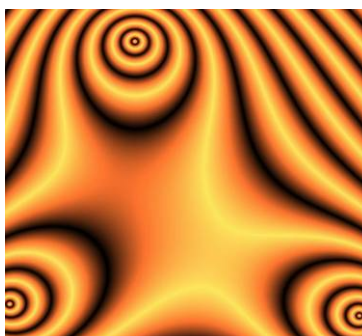
<http://www.kti.ru/>

а)

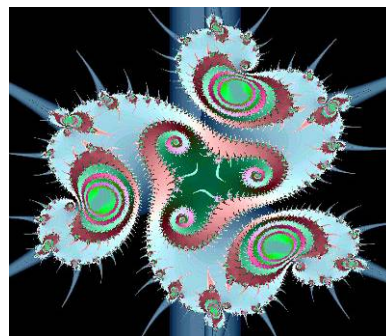


<http://abzac.blog.ziza.ru/>

б)



<http://www.rau.am/>



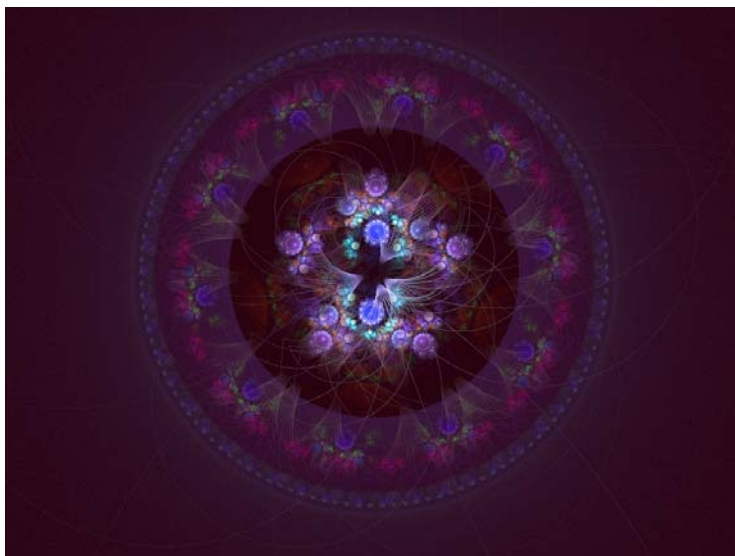
<http://fractalys.narod.ru/>

в)

Рис. 2.10.7. а) вирус; б) бактерия; в) попытка проиллюстрировать усредненную структуру вакуумных деформаций внутри ядра «протона»



<http://www.crlc.pu.ru/share/hosse/>



<http://www.crlc.pu.ru/share/hosse/>

Иллюстрация субъядрышек валентных
кварков внутри ядра «протона»

2.10.4.3. Внешняя оболочка p_1^- -«протона»

В рамках третьего приближения теории упругого вакуума внешняя оболочка p_1^- -«протона», окружающая его ядро, описывается шестью метриками (2.10.25а), (2.10.25г) и (2.10.25ж):

$$\begin{aligned}
 ds_1^{(a1)2} &= (1 - r_e^{(1)}/r_1)c^2 dt^2 + (1 - r_e^{(1)}/r_1)^{-1} dr_1^2 + r_1^2 d\theta^2 - r_1^2 \sin^2 \theta d\varphi^2, \\
 ds_2^{(b1)2} &= (1 + r_e^{(1)}/r_1)c^2 dt^2 + (1 + r_e^{(1)}/r_1)^{-1} dr_1^2 + r_1^2 d\theta^2 - r_1^2 \sin^2 \theta d\varphi^2, \\
 ds_6^{(a2)2} &= -(1 - r_e^{(2)}/r_2)c^2 dt^2 + (1 - r_e^{(2)}/r_2)^{-1} dr_2^2 - r_2^2 d\theta^2 + r_2^2 \sin^2 \theta d\varphi^2, \\
 ds_7^{(b2)2} &= -(1 + r_e^{(2)}/r_2)c^2 dt^2 + (1 + r_e^{(2)}/r_2)^{-1} dr_2^2 - r_2^2 d\theta^2 + r_2^2 \sin^2 \theta d\varphi^2, \\
 ds_{11}^{(a3)2} &= -(1 - r_e^{(3)}/r_3)c^2 dt^2 - (1 - r_e^{(3)}/r_3)^{-1} dr_3^2 + r_3^2 d\theta^2 + r_3^2 \sin^2 \theta d\varphi^2, \\
 ds_{12}^{(b3)2} &= -(1 + r_e^{(3)}/r_3)c^2 dt^2 - (1 + r_e^{(3)}/r_3)^{-1} dr_3^2 + r_3^2 d\theta^2 + r_3^2 \sin^2 \theta d\varphi^2.
 \end{aligned}
 \tag{2.10.36}$$

Ускорения и скорости переплетенно - усредненных субконт-антисубконтных токов во внешней оболочке p_1^- -«протона» определяются выражениями вида (2.3.81) – (2.3.84) при подстановке в них суперпозиции

усредненных нулевых компонентов g_{00} метрических тензоров из метрик (2.10.36):

$$\begin{aligned} \langle g_{00} \rangle = & \frac{1}{2} [(1 - r_e^{(1)}/r_1) + (1 + r_e^{(1)}/r_1)] - \frac{1}{2} [(1 - r_e^{(2)}/r_2) + (1 + r_e^{(2)}/r_2)] - \\ & - \frac{1}{2} [(1 - r_e^{(3)}/r_3) + (1 + r_e^{(3)}/r_3)]. \end{aligned} \quad (2.10.37)$$

В свою очередь, деформации внешней оболочки p_1^- -«протона» определяются суперпозицией единичных компонентов g_{11} метрических тензоров из тех же метрик (2.10.36)

$$\begin{aligned} \langle g_{11} \rangle = & \frac{1}{2} [(1 - r_e^{(1)}/r_1)^{-1} + (1 + r_e^{(1)}/r_1)^{-1}] + \frac{1}{2} [(1 - r_e^{(2)}/r_2)^{-1} + (1 + r_e^{(2)}/r_2)^{-1}] - \\ & - \frac{1}{2} [(1 - r_e^{(3)}/r_3)^{-1} + (1 + r_e^{(3)}/r_3)^{-1}]. \end{aligned} \quad (2.10.38)$$

При подстановке данной усредненной единичной компоненты $\langle g_{11} \rangle$ в выражение для усредненного относительного удлинения вида (2.3.57)

$$l_r = \sqrt{1 + \frac{\langle g_{11} \rangle - \langle g_{11}^0 \rangle}{\langle g_{11}^0 \rangle}} - 1,$$

где согласно шельтовым метрикам (2.10.25в), (2.10.25е) и (2.10.25и)

$$\langle g_{11}^0 \rangle = 1 + 1 - 1 = 1.$$

Как видно из рис. 2.10.4 при большом удалении от ядра «протона» расстояния между ядрышками 3-х «кварков» можно считать незначительными. В этом случае имеют место приближенные равенства

$$r_e^{(1)} \approx r_e^{(2)} \approx r_e^{(3)} = r_e \quad \text{и} \quad r_1 \approx r_2 \approx r_3 = r \quad (2.10.39)$$

При этом компоненты усредненного метрического тензора (2.10.37) и (2.10.38) сводятся к виду

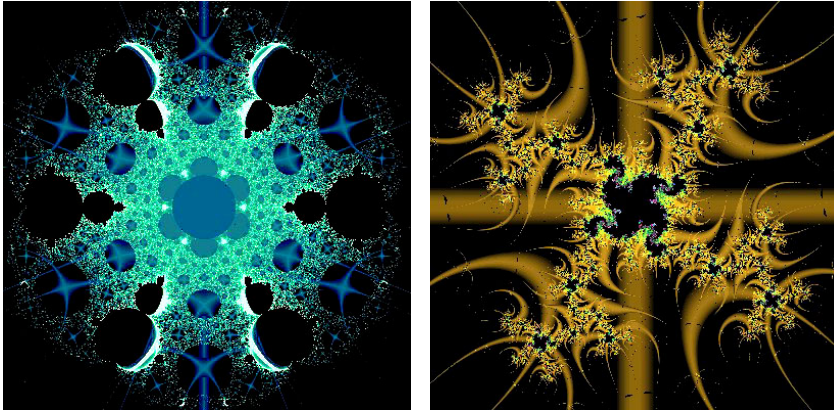
$$\langle g_{00} \rangle = -\frac{1}{2} [(1 - r_e/r) + (1 + r_e/r)] \quad (2.10.40)$$

и

$$\langle g_{11} \rangle = \frac{1}{2} [(1 - r_e/r)^{-1} + (1 + r_e/r)^{-1}]. \quad (2.10.41)$$

Усредненная нулевая компонента (2.10.40) с точностью до знака совпадает с нулевой компонентой (2.3.74), которая описывает усредненное метрико-динамическое состояние внешней оболочки покоящегося «электрона». Поэтому *заряд* «протона» практически совпадает с *зарядом* «позитрона».

на». Это объясняет, почему в классической электродинамике заряд протона считается противоположным по знаку и практически равным по модулю заряду электрона.



<http://fractalys.narod.ru/>

Попытка проиллюстрировать причудливость внешней оболочки, окружающей ядро «протона»